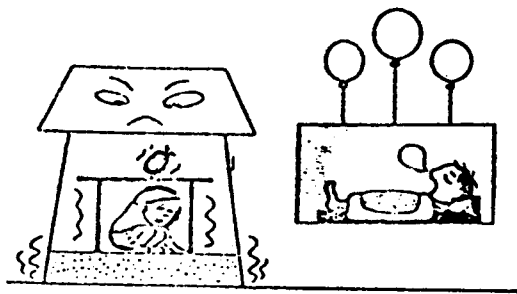


چکیده:

در این مقاله پس از معرفی مختصر روش جدا کردن سازه‌ها برای مبارزه با نیروی مخرب زلزله، روشی ساده برای تحلیل دینامیکی چنین سازه‌هایی بیان گردیده است. اساس این روش بر آن است که سازه مورد نظر با نوسانگری دارای یک درجه آزادی جایگزین شود تا آنالیز طیفی آن براحتی امکان پذیر گردد. اگرچه این روش بر پایه یکی کردن طیف دو سیستم واقعی و معادل، بسط داده شده است، اما نشان داده می‌شود که رفتار دو دستگاه از نظر توصیف زمانی حرکت، نیز تا حد زیادی مشابه خواهد بود. این روش ابزار بسیار مفیدی در دست طراح برای تصمیم‌گیری اولیه در مورد کاربرد جداسازی سازه بوده و مهمتر آنکه تحلیل طیفی رابه‌عنوان یک طریقه ساده، دقیق و عملی، جانشین روش تقریبی ایستائی معادل برای تحلیل سازه‌ها در برابر زلزله می‌سازد.

۱ - مقدمه:

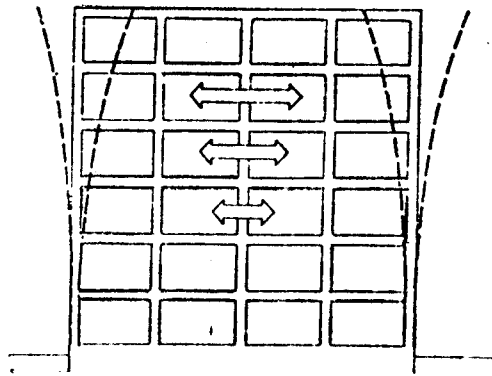
تلفاتی بالغ بر ۱۶۰۰۰۰ نفر در اثر زلزله مهیبی که در سال ۱۹۰۸ در ایتالیا رخ داد، موجب شد که اولین مجمع علمی در ارتباط با مقابله با خطرات ناشی از زلزله ایجاد شود و ظاهراً در همین مجمع بود که در سال ۱۹۰۹ خط مشی آینده مهندسی زلزله تدوین گردید [۱]. متخصصان حاضر در این مجمع به دو جناح تقسیم می‌شدند. دسته‌ای معتقد بودند که باید ساختمان را توسط یک لایه شن و یا یک رشته غلتک از شالوده‌اش جدا ساخت، در حالی که گروه دیگر بر اتصال محکم بین ساختمان و شالوده پافشاری می‌کردند. سرانجام این گروه دوم بود که نظر خود را به کرسی نشاند و همین موضوع اساس تدوین تمام آئین‌نامه‌های زلزله تاکنون بوده است.



شکل ۱- a: فلسفه ایزوله کردن سازه

روبه رو هستیم. حال فرض کنیم بنائی با صلبیتی همین به زمین متصل باشد. این اتصال بنا را مقید می‌سازد که از حرکات زمین پیروی کند. بنابراین هنگام وقوع زلزله این بنا تحت اثر نیرویی که آن را به زمین متصل می‌سازد قرار می‌گیرد (شکل b- ۱)، چون هدف این است که ساختمان به زمین متصل بماند. آیا می‌توان بطریقی این نیروی اتصال دهنده را کاهش داد و به حالت مجزا سازی آرمانی نزدیک شد؟

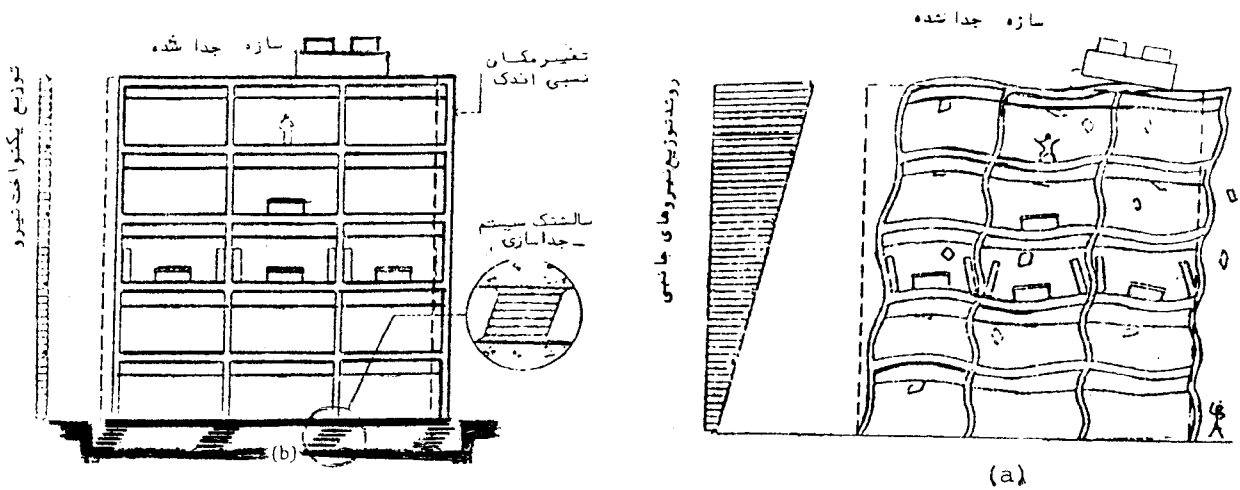
اولین آئین‌نامه مدون در مورد جدا کردن پایه^۲ ساختمانها در سال ۱۹۸۶ در آمریکا ارائه شد و تقریباً از همین سال تعداد سازه‌هایی که بر این اساس بنامی شوند بسرعت افزایش یافت [۲ و ۳]. اما اصولاً "جدا کردن پایه" یک ساختمان در برابر زلزله به چه معنی است؟ قبل از شرح اصل قضیه، دو حالت حدی آرمانی را در نظر می‌گیریم. فرض کنیم شخصی درون بالنسی بر فراز سطح زمین قرار گرفته باشد (شکل a- ۱). اگر در این حال زلزله‌ای روی دهد، هیچ نیرویی به بالن و شخص مزبور وارد نخواهد شد. پس در اینجا با حالت "جدا سازی آرمانی"



شکل ۱-ب: فلسفه ایزوله کردن سازه

پاسخ این سوال در "انعطاف پذیر کردن پایه نهفته شده است. انتخاب این راه حل به معنی متمرکز کردن شکل پذیری^۱ اتصالات تیروستون سازه^۲ مورد نظر در پایه آن است، و به عبارت دیگر پرهیز از آسیب وارده هنگام وقوع یک زلزله شدید به این اتصالات و رهایی از مشکلات اجرایی اتصالات شکل پذیر است. پس باید سازه را توسط اتصال خاصی بین پایه و شالوده^۳ آن از حرکات زمین "جدا" کنیم. یک سیستم جدا شده^۴ دینامیکی به سیستمی گفته می شود که تحت اثر بارهای دینامیکی تکیه گاه آن بصورت مجزا شده

عمل کند، یعنی اتصال آن به تکیه گاهش چیزی مابین کاملاً گیردار و کاملاً آزاد باشد. از نظر عملی این منظور مثلاً با استفاده از بالشتکهای کشسان^(۲) - جزء واقع در بین کف طبقه همکف ساختمان و شالوده^۳ آن تامین می گردد. استفاده از بالشتک کشسان - جزء به عنوان تکیه گاه انعطاف پذیر زیرسری پلها چیزی است که در سده بیستم کاملاً شناخته شده است. با بکارگیری این بالشتکها می توان هم شتاب حرکت های وارده به طبقات ساختمان و هم تغییر مکانهای نسبی آنها را بشدت کم کرد (شکل های ه، ب-۲).



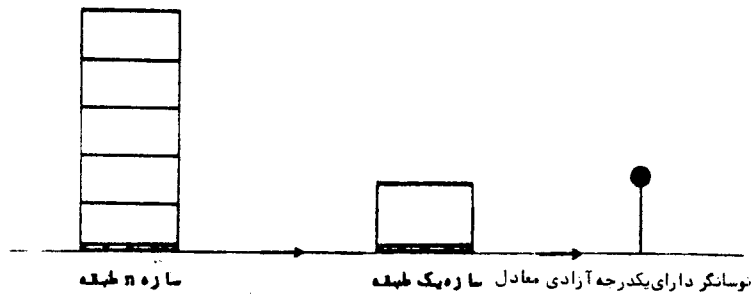
شکل ۲: شمای رفتاری سازه های جدا نشده و جدا شده

آزادی روبرو باشیم . با استفاده از روش شبه دینامیکی (آنالیز طیفی) و با معلوم بودن فرکانس (فراوانی) و نسبت میرایی دستگاه ، براحتی می‌توان تغییر مکان حداکثر (U_{max}) دستگاه را یافته ، با استفاده از آن برش پایه ماکزیمم را پیدا کرد :

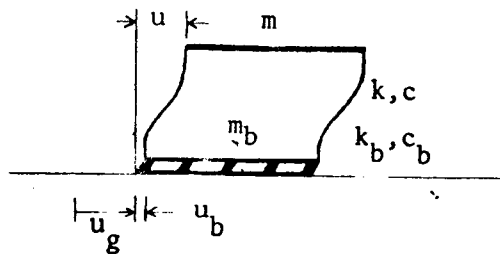
$$V_{omax} = m \omega^2 u_{max} \quad (1)$$

که در فرمول فوق m ، جرم نوسانگر و ω ، فرکانس (فراوانی) طبیعی آن است . پس خیلی ساده می‌توان هدف کار را چنین بیان کرد " یافتن فرکانس (فراوانی) و نسبت میرایی برای یک دستگاه با یک درجه آزادی معادل با دستگاهی دارای n درجه آزادی واقعی " . منظور از معادل در اینجا یکی بودن طیف تغییر مکان دو دستگاه است . روش گفته شده را در وهله اول در مورد یک سازه یک طبقه اعمال می‌کنیم و سپس آن را برای سازه n طبقه تعمیم می‌دهیم (شکل ۳) .

هدف ما ارائه یک روش تقریبی برای ارزیابی سریع مشخصات دینامیکی سازه جدا شده و تغییر مکانهای ماکزیمم آن و تعیین حداکثر نیرویی است که باید در طی زلزله مبنای طرح تحمل کند . این موارد عوامل مهمی در مطالعات مرحله اول چنین پروژه‌ای (جدا کردن ساختمان) هستند و چشم طراح را به معایب و مزایای طرح می‌گشاید و راه را برای تصمیم گیری در مورد استفاده یا عدم استفاده از جدا سازی هموار می‌کند . از لحاظ دینامیکی تحلیل یک سازه با پایه جدا شده با وارد کردن سختی بالشتکهای کشسان - جزء در محاسبات صورت می‌گیرد . در اینجا ما اساساً سازه را به صورت پرشی الگو سازی می‌کنیم . پس در حالتی که خاک پی صلب باشد ، برای هر طبقه یک درجه و برای یک سازه n طبقه ، $n + 1$ درجه آزادی (یک درجه آزادی اضافی برای تغییر مکان کف) در نظر خواهیم گرفت . حال در نظر بگیریم که به جای یک دستگاه پیچیده دارای چندین درجه آزادی ، با یک نوسانگر دارای یک درجه



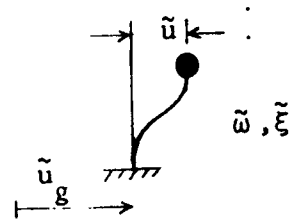
شکل ۳ : نمودار کلی محاسبات مورد نظر



شکل ۴ : مدل تحلیلی سیستم دارای دو درجه آزادی

۲- دستگاه معادل :

مقدمتا " از یک سازه" یک طبقه شروع می‌کنیم . این دستگاه دارای دودرجه آزادی می‌باشد (شکل ۴) . مطابق آنچه گفته شد ، دستگاه معادل به صورتی که در شکل (۵) نشان داده شده خواهد بود . در اینجا تغییر مکان معادل است . فعلا " بهتر به نظر می‌رسد که تغییر مکان معادلی را (\tilde{u}_g) نیز برای حرکت زمین تعریف کنیم ، زیرا که قاعدتا " در دستگاه معادل باید بارگذاری معادل هم داشته باشیم ، آیا می‌توان تغییر مکان دستگاه معادل را طوری هدایت نمود که به مقادیر ماکزیمم u_{max} و \dot{u}_{max} دست یافت ؟ چون مشخصات مکانیکی و دینامیکی دستگاه معادل ثابت است ، پس این اندیشه به ذهن خطور می‌کند : باید ضرایب ورودی معادلی برای u_g پیدا کنیم ، به طوری که یک بار u_{max} و بار دیگر \dot{u}_{max} نتیجه شود :



شکل ۵: مدل ریاضی سیستم یک درجه آزاد معادل

$$u_{max} \rightarrow \begin{cases} \tilde{u}_{g1} = A_1 u_g \\ u_{bmax} \rightarrow \begin{cases} \tilde{u}_{g2} = A_2 u_g \end{cases} \end{cases} \quad (2)$$

تا اینجا چندبار از کلمه " معادل " استفاده کردیم و این امر گویای آن است که بهرحال بانوعی " معادل سازی " سروکار داریم ، از آنجائی که برای تحلیل یک دستگاه دینامیکی ابتدا بایستی معادله تعادل آن را نوشت ، این امر را هدایت می‌کند به اینکه در نهایت باید دو رابطه تعادل را با هم معادل قرار دهیم . اما معادله تعادل تحت اثر چه نوع باری ؟

اصولا " گام مهم در بررسی رفتار دینامیکی یک دستگاه ، قرار دادن آن تحت یک بار همساز است . با این روش می‌توان به آسانی دستگاه را وارد نمود که رفتار دینامیکی خود را بروز دهد . از این رو ، فرض می‌کنیم که بارگذاری ناشی از حرکت زمین وارد بر دستگاه ، یک بارگذاری همساز باشد .

۳- پارمترهای دستگاه :

۱- رابطه فرکانس (فراوانی) اصلی و سختی روسازه دستگاه واقع بر بالشتکهای کشسان - جزء) :

$$\omega_0 = \left(\frac{k}{m}\right)^{\frac{1}{2}} \implies k = m\omega_0^2 \quad (3)$$

۲- رابطه نسبت میرایی و استهلاک روسازه :

$$\xi_0 = \frac{c}{2(km)^{\frac{1}{2}}} \implies c = 2\xi_0 m\omega_0 \quad (4)$$

۳- رابطه بین فرکانس (فراوانی) سازه جدا شده و سختی جانبی بالشتکها ، با فرض روسازه صلب .

$$\omega_b = \left(\frac{k_b}{m+m_b}\right)^{\frac{1}{2}} \implies k_b = (m+m_b)\omega_b^2 \quad (5)$$

۴- رابطه بین نسبت میرایی و استهلاک بالشتکها با فرض روسازه صلب :

$$\xi_b = \frac{c_b}{2[k_b(m+m_b)]^{\frac{1}{2}}} \implies c_b = 2\xi_b(m+m_b)\omega_b \quad (6)$$

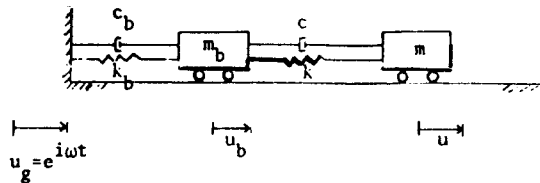
۵- جرم کل دستگاه :

$$M = m+m_b \quad (7)$$

۴- معادلات حرکت دستگاه :

۱- ۴- دستگاه واقعی :

شکل زیر ، الکوی ریاضی دستگاه مورد بررسی را نشان می‌دهد :



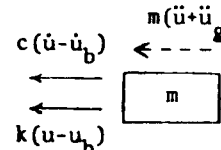
شکل ۶: حرکت جانبی سیستم دارای دودرجه آزادی

چون رفتار دستگاه را برای بار همساز بررسی می‌کنیم، فرض می‌کنیم:

$$u_g = e^{i\omega t} \Rightarrow \ddot{u}_g = -\omega^2 e^{i\omega t} \quad (۸)$$

باتوجه به مختلط بودن معادلات حرکت، نوشتن معادلهء تعادل یکبار برای جرم m و سپس برای کل دستگاه و استفاده از تغییر مکان نسبی جرم m مناسبتر خواهد بود.

الف) معادلهء تعادل جرم m :



$$m\ddot{u} + c(\dot{u}-\dot{u}_b) + k(u-u_b) = -m\ddot{u}_g \quad (۹)$$

تغییر مکان نسبی جرم m را چنین تعریف می‌کنیم:

$$\bar{u} = u - u_b \Rightarrow u = \bar{u} + u_b \quad (۱۰)$$

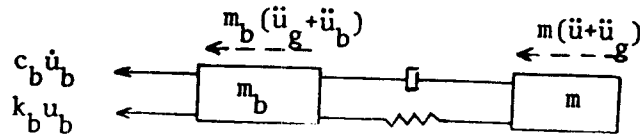
جواب پایدار دستگاه را به صورت زیر در نظر می‌گیریم:

$$u = u_0 e^{i\omega t} \Rightarrow \dot{u} = i\omega u \Rightarrow \ddot{u} = -\omega^2 u \Rightarrow \bar{u} = \bar{u} - \dot{u}_b = i\omega(u - u_b) = i\omega \bar{u} \quad (۱۱)$$

روابط (۱۰) و (۱۱) را در معادلهء (۹) قرار می‌دهیم. پس از ساده کردن خواهیم داشت:

$$(\omega_0^2 - \omega^2 + 2i\xi_0 \omega_0 \omega) \bar{u} - \omega^2 u_b = \omega^2 u_g \quad (۱۲)$$

ب) معادلهء تعادل کل دستگاه:



$$m\ddot{u} + m_b \ddot{u}_b + c_b \dot{u}_b + k_b u_b = -m\ddot{u}_g$$

معادلات (۱۱) را در رابطهء فوق می‌گذاریم و عبارت حاصل را ساده می‌کنیم:

$$(-m\omega^2) \bar{u} + (M\omega_b^2 + 2i\xi_b M\omega_b \omega - m_b \omega^2) u_b = M\omega^2 u_g \quad (۱۳)$$

جای u از معادلهء (۱۰) در رابطهء (۱۳) قرار می‌دهیم:

$$(-m\omega^2) \bar{u} + (M\omega_b^2 + 2i\xi_b M\omega_b \omega - m_b \omega^2 - m\omega^2) u_b = M\omega^2 u_g \quad (۱۴)$$

جای $\omega^2 u_g$ در سمت راست تساوی (۱۴)، از معادلهء (۱۲) قرار می‌دهیم:

$$\begin{aligned} (-m\omega^2) \bar{u} + (M\omega_b^2 + 2i\xi_b M\omega_b \omega - m_b \omega^2 - m\omega^2) u_b &= \\ (M\omega_0^2 + 2i\xi_0 M\omega_0 \omega - M\omega^2) \bar{u} - (M\omega^2) u_b &\Rightarrow \\ (M\omega_b^2 + 2i\xi_b M\omega_b \omega) u_b = (M\omega_0^2 - m_b \omega^2 + 2i\xi_0 M\omega_0 \omega) \bar{u} &\Rightarrow \end{aligned} \quad (۱۵)$$

$$\left[\left(\frac{\omega_b}{\omega} \right)^2 + 2i\xi_b \left(\frac{\omega_b}{\omega} \right) \right] u_b = \left[\left(\frac{\omega_0}{\omega} \right)^2 - \frac{m_b}{M} + 2i\xi_0 \left(\frac{\omega_0}{\omega} \right) \right] \bar{u}$$

$$\begin{cases} \bar{u} = \frac{A}{B} u_b \\ A = \left(\frac{\omega_b}{\omega} \right)^2 + 2i\xi_b \left(\frac{\omega_b}{\omega} \right) \\ B = \left(\frac{\omega_0}{\omega} \right)^2 - \frac{m_b}{M} + 2i\xi_0 \left(\frac{\omega_0}{\omega} \right) \end{cases} \quad (۱۶)$$

حال معادلات (۱۶) را در رابطهء (۱۴) می‌گذاریم:

$$(-m\omega^2) \bar{u} + (M\omega_b^2 + 2i\xi_b M\omega_b \omega - m_b \omega^2) u_b = M\omega^2 u_g \quad \text{پس:} \quad (۱۷)$$

$$\left[1 + 2i\xi_b \left(\frac{\omega}{\omega_b} \right) - \left(\frac{\omega}{\omega_b} \right)^2 - \frac{m}{M} \left(\frac{\omega}{\omega_b} \right)^2 \frac{A}{B} \right] u_b = \left(\frac{\omega}{\omega_b} \right)^2 u_g$$

اگر نسبت $\frac{A}{B}$ را از روابط (۱۶) محاسبه کنیم، ضریب u_b در معادلهء (۱۷) به دو قسمت حقیقی و موهومی تقسیم خواهد شد.

۲-۴ دستگاه معادل:

معادلهء حرکت نوسانگر دارای یک درجه آزادی معادل:

$$\tilde{\omega}^2 = \frac{\omega_0^2}{2 + 4(\frac{\omega_0}{\omega_b})^2} \left\{ \frac{M}{m_b} \left(\frac{\omega_0}{\omega_b} \right)^2 + \frac{m}{m_b} + 2 \left[\left(\frac{M}{m_b} \right)^2 \left(\frac{\omega_0}{\omega_b} \right)^4 + 2 \left(\frac{M}{m_b} \right) \left(\frac{\omega_0}{\omega_b} \right)^2 + \left(\frac{m}{m_b} \right)^2 \right] \right\} \quad (20)$$

۲-۵- محاسبه نسبت میرایی معادل:

مشابه با قسمت قبل، جزءهای موهومی روابط (۱۷)

و (۱۹) را مساوی قرار می‌دهیم و از آنجا نسبت میرایی معادل را محاسبه می‌کنیم:

$$\xi_b \left(\frac{\tilde{\omega}}{\omega_b} \right) = \frac{\xi_0 \left(\frac{\omega_0}{\omega} \right) - \xi_b \left[\left(\frac{\omega_0}{\omega} \right)^2 - \frac{m_b}{M} \right] \left(\frac{\tilde{\omega}}{\omega_b} \right)}{\left(\frac{\omega_0}{\omega} \right)^4 + \left(4\xi_0^2 - \frac{2m_b}{M} \right) \left(\frac{\omega_0}{\omega} \right)^2 + \left(\frac{m_b}{M} \right)^2} \left(1 - \frac{m_b}{M} \right) \quad (21)$$

۳-۵- محاسبه ضریب ورودی معادل برای محاسبه u_b :

از مقایسه سمت راست معادلات (۱۷) و (۱۹) خواهیم داشت:

$$\tilde{u}_g = \left(\frac{\tilde{\omega}}{\omega_b} \right)^2 u_g \Rightarrow F = \left(\frac{\tilde{\omega}}{\omega_b} \right)^2 \quad (22)$$

ضریب ورودی معادل برای محاسبه u_b می‌باشد.

۴-۵- رابطه بین u و u_b :

از معادله (۱۰) داریم:

$$u = u_b + \tilde{u}$$

بجای \tilde{u} از رابطه (۱۶) قرار می‌دهیم:

$$u = u_b + \frac{A}{B} u_b = \left(1 + \frac{A}{B} \right) u_b \quad (23)$$

قدر مطلق عبارت $\frac{A}{B}$ را با توجه به معادله (۱۰) محاسبه کرده در رابطه (۲۳) قرار می‌دهیم. سرانجام خواهیم داشت:

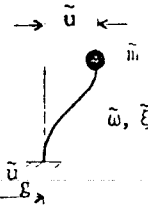
$$u = \left(1 + \frac{\omega_b^2}{\omega_0^2 - \frac{m_b}{M} \tilde{\omega}^2} \right) u_b \quad (24)$$

$$\tilde{m} \tilde{u} + \tilde{c} \dot{\tilde{u}} + \tilde{k} \tilde{u} = -\tilde{m} \tilde{u}_g \quad (18)$$

با فرض حرکت همساز و با جایگذاری پارامترها خواهیم داشت:

$$(\tilde{\omega}^2 + 2i\tilde{\xi}\tilde{\omega} - \omega^2)\tilde{u} = \omega^2 \tilde{u}_g \Rightarrow$$

$$\left[1 + 2i\tilde{\xi} \left(\frac{\omega}{\tilde{\omega}} \right) - \left(\frac{\omega}{\tilde{\omega}} \right)^2 \right] \tilde{u} = \left(\frac{\omega}{\tilde{\omega}} \right)^2 \tilde{u}_g \quad (19)$$



شکل ۷: حرکت جانبی دستگاه دارای یک درجه آزادی معادل

از مقایسه معادلات (۱۷) و (۱۹) چنین برمی‌آید که u_b و \tilde{u} تنها در صورتی معادلند که ضرایب متناظرشان مساوی هم باشند، یعنی عبارات داخل کروشه در این دو معادله یکی باشند. این دو عبارت هر دو شامل یک جزء حقیقی و یک جزء موهومی هستند.

از مساوی قرار دادن اجزاء حقیقی آنها، ω (فرکانس معادل) و از برابر قرار دادن اجزاء موهومی، $\tilde{\xi}$ (نسبت میرایی معادل) به دست می‌آید. اما در این روابط مجهول دیگری نیز موجود است و آن فرکانس (فراوانی) ω برای حرکت همساز فرضی زمین می‌باشد.

برای تعیین این مجهول کافی است فلسفه روش معادل سازی را مرور کنیم: در آنجا خواستیم طیف دستگاه های حقیقی و معادل را یکی کنیم و می‌دانیم که مقادیر طیفی (یا همان مقادیر ماکزیمم واکنش) در حالت تشدید به دست می‌آیند. بنابراین منطقی است که فرض کنیم: $\omega = \tilde{\omega}$.

۵- محاسبه مشخصات دستگاه معادل:

۱-۵: محاسبه فرکانس (فراوانی) معادله:

از مساوی قرار دادن اجزاء حقیقی ضرایب u_b و \tilde{u} در معادلات (۱۷) و (۱۹)، فرکانس (فراوانی) معادل به دست می‌آید:

$$P = \frac{1}{2} \sum m_i v_i^2 = \frac{1}{2} \sum m_i \dot{u}_i^2$$

$$\Delta P = \frac{1}{2} \sum m_i \dot{u}_{i1}^2 - \frac{1}{2} \sum m_i \dot{u}_{i2}^2 = \frac{1}{2} \sum m_i (\dot{u}_{i1}^2 - \dot{u}_{i2}^2) \quad (27)$$

از طرفی:

$$\frac{u_{i1}}{u_{i2}} = 1 + 2\pi\xi \quad (28)$$

با گذاردن رابطه (28) در رابطه (27) خواهیم داشت:

$$\xi_j = \frac{W}{4\pi L} \quad (29)$$

که در آن $L = \frac{1}{2} \sum m_i u_{i2}^2$ و W از رابطه (26) به دست می‌آید. ξ_j نسبت میرایی در شکل طبیعی ارتعاشی زام می‌باشد.

اگر با فرض حرکت همساز برای جواب حالت پایدار

u و u_b رابطه (29) را بسط دهیم، رابطه محاسبه ξ_j به شکل زیر در خواهد آمد:

$$\xi_j(z^*) = \xi_0 \left(\frac{\omega_0}{\omega} \right) (u - u_b)^2 + \xi_b \left(\frac{\omega_b}{\omega} \right) (1 + \mu_b) u_b^2 \quad (30)$$

$$z^* = \mu_b u_b^2 + u^2$$

برای حالت $z=1$ ، یعنی در شکل طبیعی اول، مقادیر شکلهای برابرند:

$$\begin{cases} u = 1 \\ u_b = 1 - \left(\frac{\omega_1}{\omega_0} \right)^2 \end{cases} \quad (31)$$

با استفاده از روابط (30) و (31) می‌توان نسبت میرایی دستگاه را در شکل طبیعی اول محاسبه نمود.

۸- دستگاه دارای n درجه آزادی:

تا اینجا کلیه روابطی که به دست آوردیم مربوط به دستگاه شکل ۴ می‌شود. حال سؤال این است چگونه می‌توان این روابط را برای سازه‌های با n درجه آزادی نیز به کار برد؟ اگر جرم m در شکل ۴ را نماینده روسازه یک دستگاه با n درجه آزادی در نظر بگیریم، پاسخ دادن به این سؤال بسیار ساده خواهد بود.

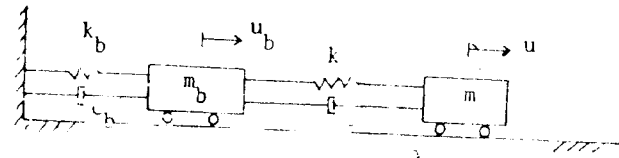
در یک شکل طبیعی ارتعاشی، جرم m را می‌توان

بنابراین پس از محاسبه u_b ، با استفاده از رابطه (24) راحتی می‌توان u را نیز محاسبه نمود.

۶- محاسبه فرکانس‌های (فراوانیهای) ارتعاش طبیعی دستگاه

واقعی:

بمنظور مقایسه عددی، لازم است فرکانس‌های (فراوانیهای) طبیعی دستگاه شکل زیر را با استفاده از معادله مشخصه آن بدست آوریم:



شکل ۸: ارتعاش آزاد دستگاه دارای دو درجه آزادی

بدین منظور معادلات تعادل جرمهای m و m_b را می‌نویسیم و در ترمینان ضرایب دستگاه حاصل را مساوی صفر قرار می‌دهیم. خواهیم داشت:

$$\omega_1 = \left\{ \frac{M}{2m_b} (\omega_0^2 + \omega_b^2) \left[1 - \sqrt{1 - 4 \frac{m_b}{M} \left(\frac{\omega_0 \omega_b}{\omega_0^2 + \omega_b^2} \right)^2} \right] \right\}^{\frac{1}{2}} \quad (25)$$

۷- محاسبه نسبت میرایی دستگاه واقعی:

روشی که در این قسمت به کار می‌بریم، روش انرژی [۴] است.

طبق قضیه همیلتن، انرژی ارتعاشی تلف شده یک دستگاه در یک دوره تناوب برابر با کار نیروهای غیر پتانسیلی (میرایی و نیروهای خارجی) است. چون در اینجا نیروی خارجی وجود ندارد (حالت ارتعاش آزاد)، انرژی تلف شده W شکل زیر را به خود خواهد گرفت:

$$W = \int_0^T c(\dot{u} - \dot{u}_b) d(u - u_b) + \int_0^T c_b \dot{u}_b du_b \quad (26)$$

از طرف دیگر انرژی تلف شده در همین دور برابر است با تفاضل انرژی‌های ماکزیم جنبشی در دو دور پشت سرهم:

جرم موثر دستگاه در آن شکل طبیعی تعریف نمود.

برای یک روسازه^۹ n طبقه‌ای (بافرض پایه ثابت) n، شکل طبیعی ارتعاشی موجود خواهد بود داریم [۴]:

$$m_j^* = \frac{(\sum m_i \phi_{ij})^2}{\sum m_i \phi_{ij}^2} \quad (۳۲)$$

در رابطه فوق، m_j جرم موثر روسازه در شکل طبیعی ارتعاشی زام روسازه می‌باشد.

بنابراین با فرض غالب بودن شکل طبیعی اول در ارتعاش سیستم، از جرم موثر شکل طبیعی اول ($m = m_1^*$) استفاده می‌کنیم و خواهیم داشت: (فرض - جرم تمام طبقات و پایه مساوی

$$m = M - m_b, \quad \frac{m_b}{M} = \frac{m_0}{(n+1)m_0} = \frac{1}{n+1} \quad (m_0 \text{ می‌باشد}).$$

$$m_b = \frac{m_b}{m} = \frac{m_0}{nm_0} = \frac{1}{n}$$

برای سازه‌های "منظم" n طبقه‌ای داریم:

$$T_0 = \frac{2\pi}{\omega_0} = 0.1n \Rightarrow \omega_0 = \frac{2\pi}{0.1n} = \frac{20\pi}{n} \approx \frac{60}{n}$$

بنابراین با فرضیات فوق، صرف نظر از تعداد درجات آزادی دستگاه، هنوز هم می‌توان روابط ۲۰، ۲۱، ۲۲، ۲۴، ۲۵، ۳۰ و ۳۱ را به کار برد. بعد از محاسبه^۹ u و u_b برش پایه^۹ نوسانگر معادل از فرمول زیر به دست می‌آید:

$$V_0 = \omega_0^2 m_1^* (u - u_b) \quad (۳۳)$$

همچنین تغییر مکان طبقات مختلف چنین محاسبه می‌شود [۶]:

$$u_j = (u - u_b) \phi_{j1} \frac{\sum m_i \phi_{i1}}{\sum m_i \phi_{i1}^2} + u_b \quad (۳۴)$$

۹- مقایسه عددی فرکانس‌های (فراوانیها) و نسبت‌های میرایی

حاصل از روابط مختلف.

۱- ۹- مفروضات:

- 1) $\xi_0 = 0.04$ - میرایی روسازه در شکل طبیعی اول
- 2) $\omega_b = 1.5, 3, 4.5, 6$ rad/sec (مقدار توصیه شده [۵]: $\omega_b = 3$)
- 3) $\xi_b = 0.05, 0.1, 0.15$
- 4) $\omega_0 = \frac{60}{n} = 6, 10, 15, 30, 60$
- 5) $m_b = m_i, i=1, n \Rightarrow \frac{M}{m_b} = n+1 = 11, 7, 5, 3, 2$

۲- ۹- نتایج:

نتایج نشان دهنده آن هستند که فرکانس (فراوانی) نوسانگر معادل با فرکانس (فراوانی) شکل طبیعی اول دستگاه واقعی عملاً تفاوتی ندارد. این موضوع در مورد نسبت‌های میرایی نیز صادق است (جدول ۱).

نتایج مزبور مستقل از مقدار میرایی بالشتکها هستند.

جدول ۱: مقادیر برحسب ۳ و $\omega_b = 1/5$ و $\xi_b = 0/05$

ω_0	ω_1 (معادله مشخصه)		$\bar{\omega}$		$\bar{\xi}$		$\bar{\xi}$ (روش انرژی)	
	1.5	3	1.5	3	1.5	3	1.5	3
6.00	1.459	2.703	1.459	2.704	0.047	0.040	0.047	0.040
7.50	1.474	2.804	1.474	2.805	0.048	0.043	0.048	0.043
10.00	1.486	2.889	1.486	2.890	0.049	0.045	0.049	0.046
15.00	1.494	2.953	1.494	2.953	0.049	0.048	0.050	0.048
30.00	1.499	2.990	1.499	2.990	0.050	0.050	0.050	0.050
60.00	1.500	2.998	1.500	2.998	0.050	0.050	0.050	0.050

۱۰ - تحلیل دینامیکی:

ب - ساختمان ۷ طبقه

طبقه	$I(Cm^4)$	$h(Cm)$	$m(Kg.sec^2/Cm)$
Base	6.4×10^3	150	1500
1	6.3×10^6	400	"
2	"	"	"
3	"	"	"
4	"	"	"
5	"	"	"
6	"	"	"
7	"	"	"

$وزن\ ساختمان = (8 \times 1500) \times 981 = 1.2 \times 10^7\ Kg$

پ - ساختمان ۱۰ طبقه

طبقه	$I(Cm^4)$	$h(Cm)$	$m(kg.sec^2/Cm)$
Base	8.6×10^3	150	1500
1	8.3×10^6	360	"
2	5.6×10^6	"	"
3	"	"	"
4	"	"	"
5	2.8×10^6	"	"
6	"	"	"
7	"	"	"
8	1.9×10^6	"	"
9	"	"	"
10	"	"	1000

$وزن\ ساختمان = (10 \times 1500 + 1000) \times 981 = 1.6 \times 10^7\ Kg$

۱ - ۱۰ - داده‌های کلی:

از ثبت مولفه $N-S$ زلزله آل سنتروی ۱۹۴۰ برای ۶ ثانیه اول آن به فواصل زمانی ۰/۰۲ ثانیه استفاده شده است. با اینکه اساس کار معادل سازی بریکی بودن طیف دو دستگاه معادل و واقعی استوار است، اما در اینجا تاریخچه رفتاری دو دستگاه را نیز مورد بررسی قرار می‌دهیم. برای حل دستگاه معادل از روش انتگرال دو حامل برای دستگاههای دارای یک درجه آزادی استفاده شده و در مورد دستگاه واقعی از انتگرال دو حامل و آنالیز مودال. برای هر سازه در هر مرحله زمانی تغییر مکانهای هر طبقه و برش پایه و توزیع برش در ارتفاع سازه محاسبه شده است. این سازه‌ها به صورت برشی الگوسازی شده‌اند. مشخصات دینامیکی سیستم معادل نیز از فرمول‌های مورد بحث در این مقاله به دست آمده‌اند.

همچنین فرض شده که فوکانس (فراوانی) ارتعاش جانبی بالشتکها، ۲ رادیان بر ثانیه باشد.

داده‌های لازم برای سه مثال حل شده، در جدول ۲ خلاصه شده است.

۲ - ۱۰ - نتایج (جداول ۳ تا ۵)

نتایج مهمی که گرفته می‌شود به شرح زیر می‌باشد:

جدول ۲. داده‌های لازم برای سه مثال حل شده.

الف - ساختمان ۴ طبقه

طبقه	$I(Cm^4)$	$h(Cm)$	$m(kg.sec^2/Cm)$
Base	4×10^3	150	1500
1	5.1×10^6	400	"
2	"	"	"
3	"	"	"
4	"	"	"

$وزن\ ساختمان = (5 \times 1500) \times 981 = 7.5 \times 10^6\ Kg$

جدول ۳: تغییر مکانهای ماکزیمم سازه‌های جدا شده و جداننده

تعداد طبقات	u_{bmax} (جدا شده) cm	u_{nmax} (جدا شده) cm	u_{jmax} (جداننده) cm	u_{nmmax} (جدا نشده) cm	$\Delta u (cm)$	
					جدا شده cm	جداننده cm
4	20.48	21.10	2.35	6.64	0.62	4.29
7	19.91	21.36	2.16	10.95	1.45	8.79
10	19.27	21.93	1.26	18.80	2.66	17.54

جدول ۴: برش پایه ماکزیمم سازه‌های جدا شده و جداننده

تعداد طبقات	وزن سازه (kg)		ماکزیمم برش پایه (kg)		V_o/W		برش جدا نشده پایه برش جدا شده
	شده	نشده	شده	نشده	شده	نشده	
4	7.5×10^6	6.0×10^6	5.0×10^5	5.0×10^6	0.07	0.83	11.9
7	1.2×10^7	1.0×10^7	8.6×10^5	5.0×10^6	0.07	0.50	7.1
10	1.6×10^7	1.4×10^7	1.1×10^6	6.0×10^6	0.07	0.43	6.1

جدول ۵: جرم موثر شکل طبیعی اول سازه‌های جدا شده و جدا نشده

تعداد طبقات	جرم سازه		جرم موثر		m_1^*/M	
	شده	نشده	شده	نشده	شده	نشده
4	7500	6000	7500	5360	1	0.89
7	12000	10500	12000	9050	1	0.86
10	16000	14500	16000	10600	1	0.73

باید طراحی گردد و منحنی بالای آن مقاومت نهایی احتمالی سازه‌ای را که طبق این مقررات طراحی شده نشان می‌دهد. مقاومت نهایی سازه بنا بر ضرایب اطمینان موجود در محاسبه، می‌تواند تا ۲ برابر مقاومت محاسباتی باشد. اختلاف موجود بین بزرگترین نیروی وارده حاصل از تحلیل کشسان و حد جاری شدن عناصر مقاوم، نشان می‌دهد که قسمتی از انرژی زلزله باید توسط تغییر شکل‌های غیر ارتجاعی (شکل پذیری) عناصر سازه‌ای جذب گردد.

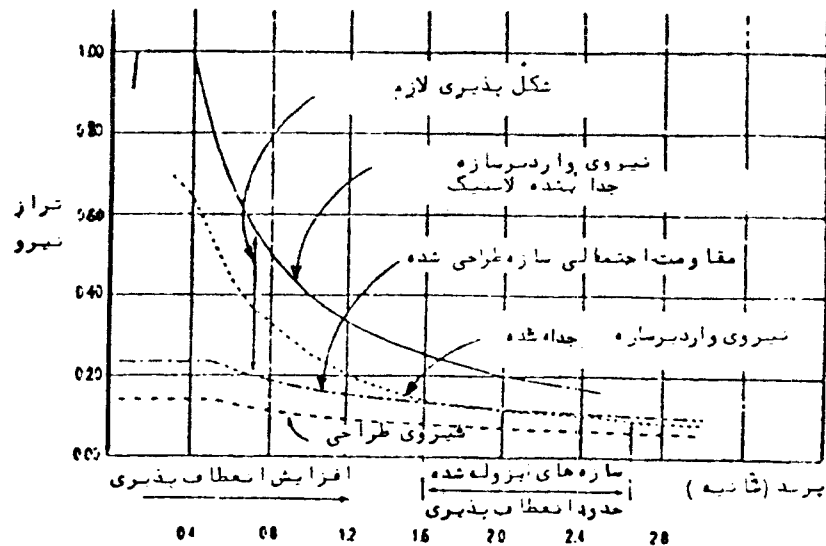
وقتی که یک ساختمان جدا می‌شود، ماکزیمم نیروی ارتجاعی بخاطر افزایش دوره تناوب سازه کاهش می‌یابد. طبق شکل، در محدوده دوره‌های تناوب ساختمانهای جدا شده، مقاومت حد جاری شدن ساختمان تقریباً مساوی است با ماکزیمم نیرویی که توسط زلزله به سازه وارد می‌شود. بنابراین میزان شکل پذیری لازم برای عناصر بار بریک سازه جدا شده خیلی کم و یا صفر خواهد بود. بنابراین سازه حتی در یک زلزله شدید هم کشسان رفتار خواهد کرد. اما در مورد سازه جدا نشده - عموماً باید تغییر شکل خمیری (خرابی) رخ دهد تا نیروی برشی آن به حد وحشتناکی مثل $0.8W$ نرسد.

(۱) روسازه جدا شده در همه حالات عملاً بصورت جسم صلب رفتار کرده است.

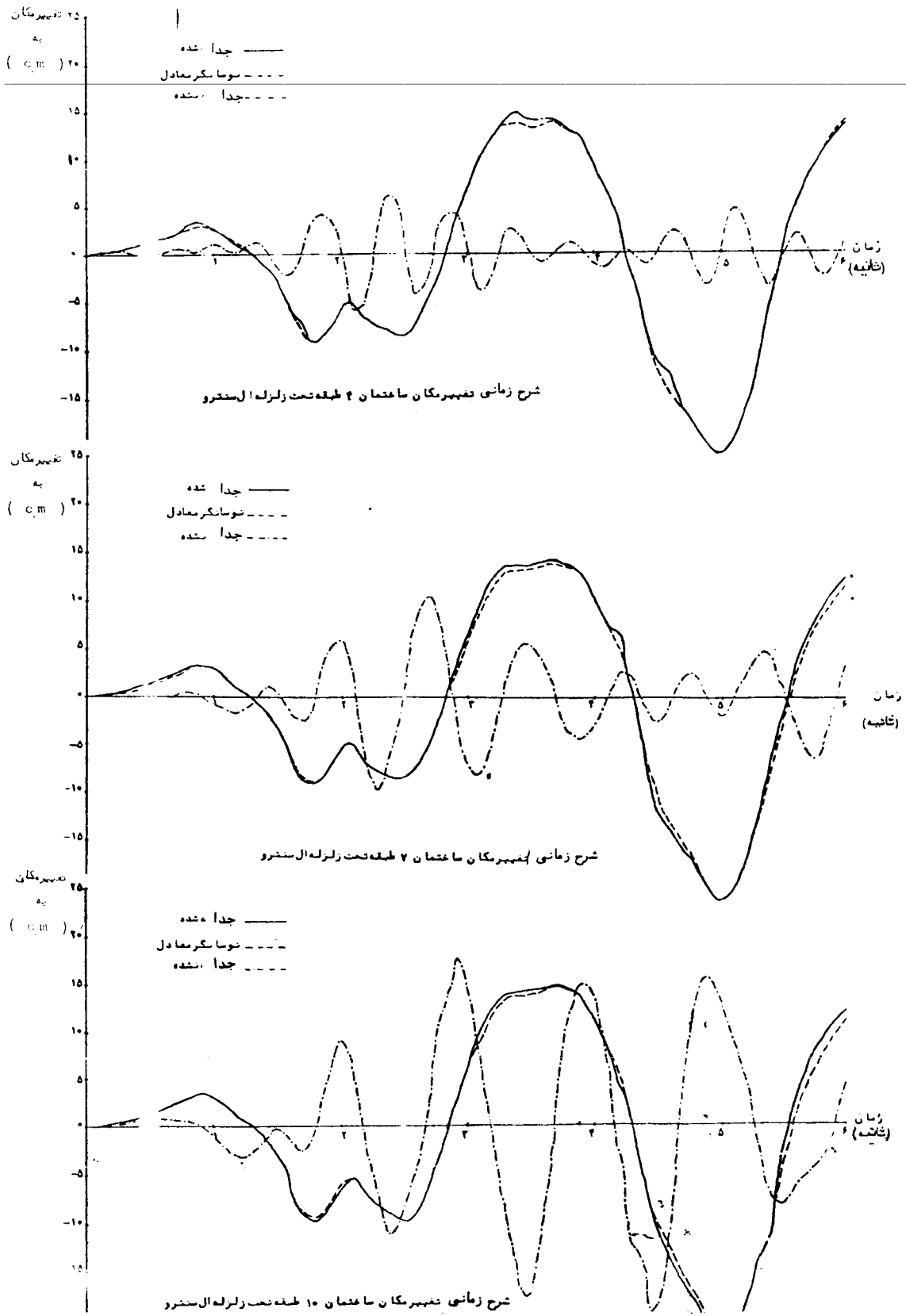
(۲) در ارتعاش سازه جدا شده اساساً شکل طبیعی اول دخالت دارد در صورتی که در سازه‌های جدا نشده درصد شرکت پذیری شکل طبیعی بالاتر با افزایش ارتفاع ساختمان زیاد می‌شود. پس استخراج مشخصات دستگاه معادل با فرض غالب بودن شکل طبیعی اول در ارتعاش دستگاه واقعی، عمل مناسبی بوده است.

(۳) برش پایه در یک سازه جدا نشده با رفتار کشسان بسیار بیشتر از حدود آیین‌نامه‌ای است. این امر بدین دلیل است که آیین‌نامه‌ها همواره مقداری تغییر شکل خمیری در عناصر باربر سازه در اثر زلزله‌های شدید پیش بینی می‌کنند. در این صورت دیگر رفتار سازه کشسان نبوده و توازن نیروی برشی بخاطر کم شدن سختی سازه شدیداً کاهش می‌یابد. این موضوع در شکل ۹ به طرز واضح تری نشان داده شده است [۲].

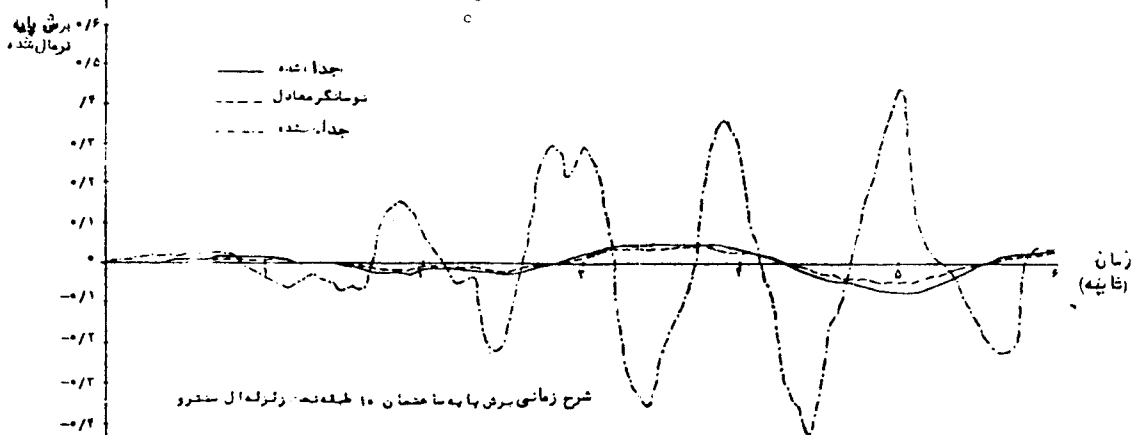
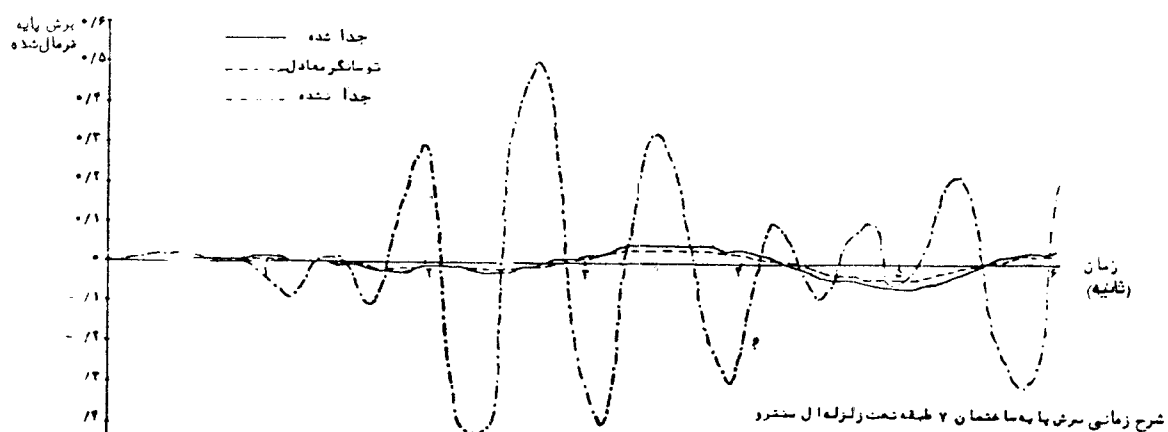
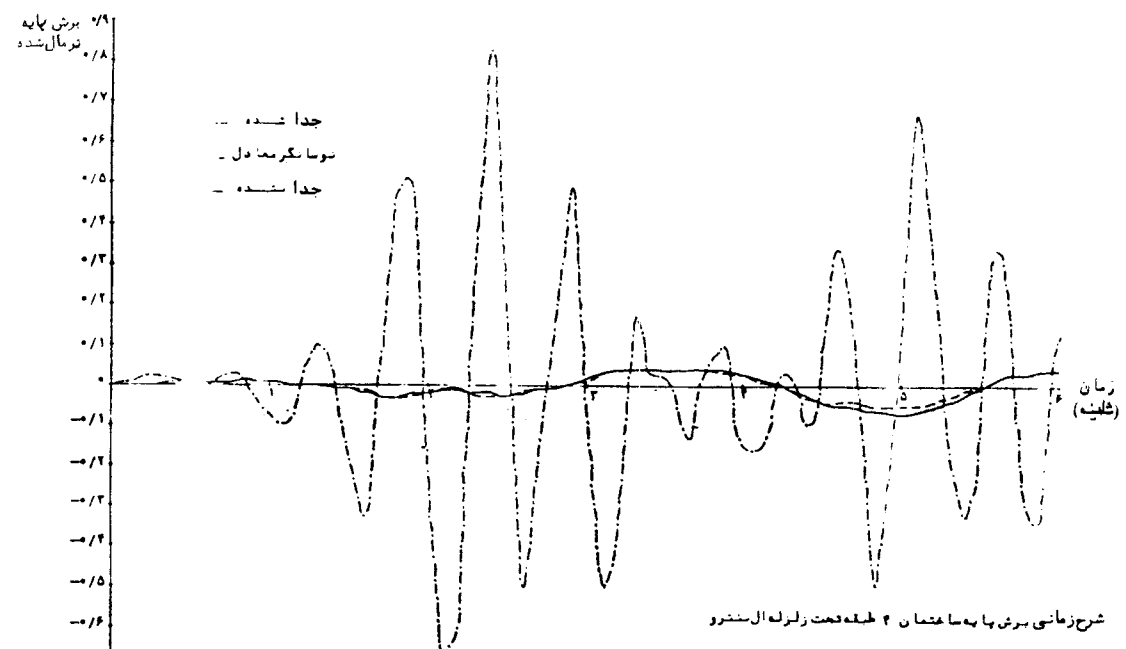
منحنی بالایی در این شکل بطور شماتیک نیروی وارد بر یک سازه با رفتار کشسان ناشی از زلزله را نشان می‌دهد. پایین‌ترین منحنی معرف نیرویی است که طبق آیین‌نامه سازه بنا به مقررات آیین‌نامه UEC



شکل ۲-۲: نمودار نیروهای نسبی وارد بر سازه‌های جدا نشده، ارتجاعی و سازه‌های جدا شده



شکل ۱۰



شکل ۱۱

جدول ۶

تعداد طبقات	حداکثر تغییر مکان کف O_m		حداکثر تغییر مکان سقف O_m		حداکثر برش پایه Kg	
	معادل	حقیقی	معادل	حقیقی	معادل	حقیقی
4	20.48	20.73	21.10	21.06	0.5×10^6	0.4×10^6
7	19.91	19.89	21.36	20.88	0.86×10^6	0.7×10^6
10	19.27	19.63	21.93	21.63	0.11×10^7	0.8×10^6

(۴) در بررسی‌های بعمل آمده مشاهده شده است که در یک سازه جدا شده، نیروی وارد به تمام طبقات (توزیع برش در ارتفاع سازه) تقریباً "یکی می‌باشد". این مطلب خود نتیجه‌ای از حرکت جسم صلب روسازه می‌باشد.

(۵) مقایسه نیروها و تغییر مکانهای حاصل از تحلیل دستگاه‌های معادل و واقعی (جدول ۶)

طبق جدول فوق دقت نتایج تغییر مکان عالی است و در مورد برش هم در حد خوبی می‌باشد. برش پایه بدست آمده در حدود ۸۰٪ مقدار دقیق است.

(۶) شرح تغییر مکان و برش:

در شکل های ۱۰ و ۱۱، بترتیب شرح زمانی تغییر مکان و برش سه سیستم جدا نشده، جدا شده و معادل آورده شده است.

ویژگی مهم این شکلها آن است که رفتار یک سازه جدا شده را اساساً "مستقل از تعداد طبقات آن و وابسته به سختی دستگاه جداسازی نشان می‌دهد. دیگر آنکه دستگاه معادل حتی در شرح زمانی حرکت نیز با سیستم واقعی هماهنگی دارد. همچنین میزان برش پایه و سرعت تغییر مکانهای سازه جدا شده نسبت به سازه معمولی، شدیداً کاهش می‌یابد.

۱۱ - مرحله بندی روش:

(۱) برای سازه مورد نظر فرکانس (فراوانی) شکل طبیعی اول روسازه ω_0 و شکل طبیعی شکل اول آن (ϕ_{i1}) را با استفاده از رابطه تقریبی $\omega_0 = \frac{60}{n}$ (تعداد طبقات سازه n و $i=1, \dots, n$) و روش دستی هولزر [۴] محاسبه می‌کنیم.

(۲) با توجه به نوع سازه، مقداری برای نسبت میرایی ξ_0 آن انتخاب می‌کنیم.

(۳) نسبت جرم کل سازه به جرم پایه $(\frac{M}{m_b})$ ، نسبت جرم روسازه به جرم پایه $(\frac{m}{m_b})$ و جرم موثر شکل طبیعی اول را بدست می‌آوریم.

(۴) فرکانس (فراوانی) حرکت جانبی بالشتکهای کشان - جزء و میرایی آنها را از روابط (۵) و (۶) بدست می‌آوریم. مقادیر $\xi_b = 0.1, \omega_b = 3 \text{ rad/sec}$ متداولتر است [۵].

(۵) فرکانس (فراوانی) نوسانگر معادل و میرایی آنرا از روابط (۲۰) و (۲۱) محاسبه می‌کنیم.

(۶) با استفاده از طیف طرح سیستم های یک درجه آزاد که توسط آئین نامه زلزله معرفی گردیده و با داشتن مقادیر فرکانس (فراوانی) و نسبت میرایی، واکنش ماکزیمم سیستم را بدست می‌آوریم.

(۷) با بکارگیری رابطه ۲۲، ضریب تحریک معادل برای محاسبه تغییر مکان ماکزیمم پایه سازه را محاسبه می‌کنیم.

(۸) ضریب حاصل از بند ۷ را در واکنش حاصل از بند ۶ ضرب می‌کنیم تا حداکثر تغییر مکان پایه (u_b) بدست آید.

(۹) با استفاده از معادله (۲۴)، حداکثر تغییر مکان روسازه (u) را نیز بدست می‌آوریم.

(۱۰) با بکارگیری رابطه (۳۴)، تغییر مکان هر یک از طبقات سازه را محاسبه می‌کنیم.

(۱۱) سرانجام با استفاده از فرمول (۳۳) می‌توان برش پایه سازه (= برش در تراز روی پایه) را بدست آورد و با توجه به حرکت نزدیک به جسم صلب روسازه، آنرا به نسبت جرم طبقات در ارتفاع روسازه توزیع نمود.

۱۲ - تلخیص و نتیجه گیری :

به منظور تحلیل شبه دینامیکی (آنالیز طیفی) یک دستگاه سازه‌ای با n درجه آزادی، مشخصات دینامیکی یک نوسانگر دارای یک درجه آزادی معرفی شد، طوری که طیف تغییر مکان هر دو دستگاه تقریباً یکی باشد. همچنین نشان داده شد که با استفاده از این دستگاه دارای یک درجه آزادی معادل، براحتی می‌توان مقادیری را که در طراحی یک سازه جدا شده مورد نیازند یعنی تغییر مکان پایه، تغییر مکان سقف و برش پایه را با دقت بسیار خوبی محاسبه نمود. این کار را می‌توان بطور دستی و با استفاده از طیف طرح زلزله به انجام رساند. محدودیت این روش فرض الکوی رفتاری برشی برای سازه است که در مورد دستگاه‌های با کف صلب، که مرکز ثقل آنها بر مرکز صلبیت دستگاه جدا سازی منطبق است، صادق می‌باشد.

۱۳ - فهرست منابع :

- 1- Aseismic Base Isolation :Review and Bibliography; prof. James M.Kelly, Soil Dynamics and Earthquake Engineering, No. 3, 1986.
- 2- PCI Dournal/May-June 1988(24-55).
- 3- Journal of Structural Engineering, ASCE, 1990 (925-938).
- 4- Dynamics of Structures ;Clough and penzien(64-68).
- 5- Optimum characteristics of Isolated Structures ;M.C.Constantinou and I.G. Tadqbakhshi, Journal of Structural Engineering ,ASCE 111, 1985.
- 6- Dynamics of soil-Base-Isolated-Structur Systems: 1.Linear Systems ; M.C. Constantinou and M.C.Kneifati, Drexel University, Sept. 1986, Report to NSF.